

# T-61.3010 Digitaalinen signaalinkäsittely ja suodatus

1/6

2. välikoe / tentti. Ke 7.5.2008 klo 8-11. Sali M.

2. vk on oikeus tehdä vain kerran joko 7.5. tai 14.5. Tee välikokeessa tehtävät 1, 2 ja 7 (palaute).

Tentti on oikeus tehdä vain kerran joko 7.5. tai 14.5. Tee tentissä tehtävät 2, 3, 4, 5, 6 ja 7 (palaute). Aloita kukin tehtävä uudelta sivulta.

Tilaisuudessa saa olla oma funktiolaskin mutta ei mitään taulukkokirjaa. Tilaisuudessa jaetaan kurssin taulukkomoniste sekä palautuslomake tehtävää 1 (vk) varten.

Palautusohjeet:

- esitä opiskelijakorttisi palautuksen yhteydessä
- jos välikoe: tehtävän 1 ("rasti ruutuun") lomake omaan pinoon "VK2-MONIVALINTA", täytettävä vähintään opiskelijanumero
- jos välikoe: tehtävän 2 vastauskonsepti omaan pinoon "VK2-KONSEPTI", täytettävä vähintään konseptin ylä-laidan tiedot
- jos tentti: kaikki vastauskonseptit sisäkkäin omaan pinoon "TENTTI"
- suttupaperit omaan pinoon "SUTTU"
- tehtäväpaperin ja taulukkomonisteen voi pitää itsellään

1) (10 x 1p, max 8 p, VAIN VÄLIKOE) Monivalinta. Väittämässä on 1–4 oikeaa vastausta, mutta valitse **yksi ja vain yksi**. Täytä erillisille lomakkeelle, joka luetaan optisesti.

Oikea valinta +1 p, väärä valinta -0.5 p, ei valintaa 0 p. Perusteluja ei tarvita. Vastaa niin moneen kuin haluat. Tehtävän maksimipistemäärä on 8 ja minimimäärä 0.

Väitteet 1.1 – 1.4 ovat kurssin jälkipuoliskon ydinainesta ja ratkaistavissa suoraviivaisesti. Väitteet 1.5 – 1.10 ovat soveltavia ja vaativat laskemista suttupaperilla.

1.1 Kausaalinen ja stabiili LTI-suodin

$$H(z) = \frac{1 + 2z^{-1} + z^{-2}}{1 - 1.3z^{-1} + 0.4z^{-2}}$$

on esitetty viiveiden suhteen kanonisessa (yksinkertaisessa) suoran muodon II ("direct form II") -rakenteena

- (A) kuvassa 1(a)
- (B) kuvassa 1(b)
- (C) kuvassa 1(c)
- (D) kuvassa 1(d)

1.2 Bilineaarimuunnos

- (A) on bijektio (yksi-yhteen kuvaus), jossa analogisen  $s$ -tason vasen puolitaso kuvautuu  $z$ -tason yksikköympyrän sisällöksi
- (B) on yksi tapa laskea analoginen FIR-suodin vastaavasta digitaalisesta vastineesta
- (C) on muunnos, jolla kvantisointivirheen kohina saadaan muokattua suotimen estokaistalle
- (D) on stereosignaalin suodattamista lineaarivaiheisella suotimella

1.3 Digitaalisen FIR-suotimen suunnittelussa käytettävä ikkunafunktio

$$w[n] = 0.54 + 0.46 \cdot \left(\cos\left(\frac{2\pi n}{2M}\right)\right)$$

- (A) on valmis FIR-suodin normalisoidulla rajakulmataajuudella  $\omega_c = 2\pi \cdot M/N$ , jossa  $N$  on suotimen asteluku
- (B) määrää suotimen estokaistan minimivaimennukseksi  $20 \log_{10}(M)$  desibeliä
- (C) on tyypillinen Butterworth-ikkuna, jonka pääkuvun leveys on  $\Delta_{ML} = 3.11\pi/M$
- (D) voidaan käyttää katkaisemaan äärettömän pitkä ideaalinen impulssivaste  $h_{ideal}[n]$  äärellisen pitkäksi

1.4 Kun äänisignaalia  $x[n]$ , jonka näytteenottotaajuus on  $f_T = 22050$  Hz ja pituus on noin 0.40 sekuntia ylösnäyteistetään ("upsampling") termillä  $L = 2$

- (A) signaalin näytemääräksi tulee noin 44100
- (B) signaalin näyteväliksi tulee  $T = 0.40/22050$  Hz
- (C) signaalin kestoksi tulee edelleen noin 0.40 sekuntia uudella näytteenottotaajuudella  $f'_T = 44100$  Hz
- (D) signaalin kestoksi tulee noin 0.80 sekuntia uudella näytteenottotaajuudella  $f'_T = 44100$  Hz

2/6

## 1.5 Tutkitaan digitaalista IIR-tyyppistä kaistanpäästösuodinta

$$H(z) = K \cdot \frac{2 - 0.108z^{-2} + 2z^{-4}}{1 + 1.16z^{-2} + 0.434z^{-4}}$$

jonka maksimiarvo on taaajuudella  $\omega = \pi/2$ . Määrittää skaalauskerroin  $K$  siten, että suotimen maksimi on 1.

- (A)  $K \approx 0.067$
- (B)  $K \approx 0.50$
- (C)  $K \approx 0.67$
- (D)  $K \approx 15$

1.6 Stabiili analogisuodin  $H(s) = \Omega/(s + \Omega)$ , jossa taajuusvääristymäkorjattu ("prewarped") rajataajuus  $\Omega = k \cdot 0.5$ , muutetaan digitaaliseksi  $H(z)$  käyttäen sijoitusta  $s = k \cdot (1 - z^{-1})/(1 + z^{-1})$ . Digitaalinen suodin on

- (A)  $H(z) = 1/(1 + 2k^{-1}z^{-1})$
- (B)  $H(z) = (1/3) \cdot (1 + z^{-1})/(1 - (1/3)z^{-1})$
- (C)  $H(z) = (1 + z^{-1})/(1 - 3z^{-1})$
- (D)  $H(z) = (1 - z^{-1})/(1.5 - 0.5z^{-1})$

1.7 Tutkitaan kuvan 2(a) toisen asteen IIR-suodinta, jossa mukana kvantisointilohko  $Q$  ja siihen liittyvä kvantisointivirhettä muokkaava 1. asteen suodinlohko.

Kirjoitetaan apumuuttuja  $w[n]$  ja korvataan lohko  $Q$  virhelähteellä  $e[n]$  kuten kuvassa 2(b). Tästä voidaan kirjoittaa kaksi differenssiyhtälöä, toinen  $y[n] = \dots$  ja toinen  $w[n] = \dots$

Näitä muokkaamalla saadaan suotimen ulostuloksi taajuustasossa

$$Y(z) = H_x(z) \cdot X(z) + H_e(z) \cdot E(z)$$

jossa  $H_x(z)$  on varsinainen suotimen siirtofunktio ja  $H_e(z)$  kvantisointivirhettä muokkaava siirtofunktio. Nämä ovat

- (A)  $H_x(z) = \frac{1+1.8z^{-1}+0.82z^{-2}}{1+1.8z^{-1}+0.82z^{-2}}$  ja  $H_e(z) = \frac{kz^{-1}}{1+1.8z^{-1}+0.82z^{-2}}$
- (B)  $H_x(z) = \frac{1+1.8z^{-1}+0.82z^{-2}}{1-1.8z^{-1}+0.82z^{-2}}$  ja  $H_e(z) = \frac{1+kz^{-1}}{1-1.8z^{-1}+0.82z^{-2}}$
- (C)  $H_x(z) = \frac{1+1.8z^{-1}+0.82z^{-2}}{1-1.8z^{-1}+0.82z^{-2}}$  ja  $H_e(z) = \frac{1+(k-1.8)z^{-1}+0.82z^{-2}}{1-1.8z^{-1}+0.82z^{-2}}$
- (D) Yksikään ylläolevista pareista ei ole oikein.

1.8 Jatketaan kohdasta 1.7. Oletetaan kvantisointivirhe valkoiseksi kohinaksi, jonka spektri  $E(z) = 1$ . Mikä on paras arvo  $k$ :lle, jotta kokonaiskohina  $E_{\text{TOT}}(z)$  siirtyy pois mielenkiintoiselta päästökaistalta.

- (B)  $k = -1$
- (A)  $k = 0$
- (C)  $k = 1$
- (D)  $k = 1.8$

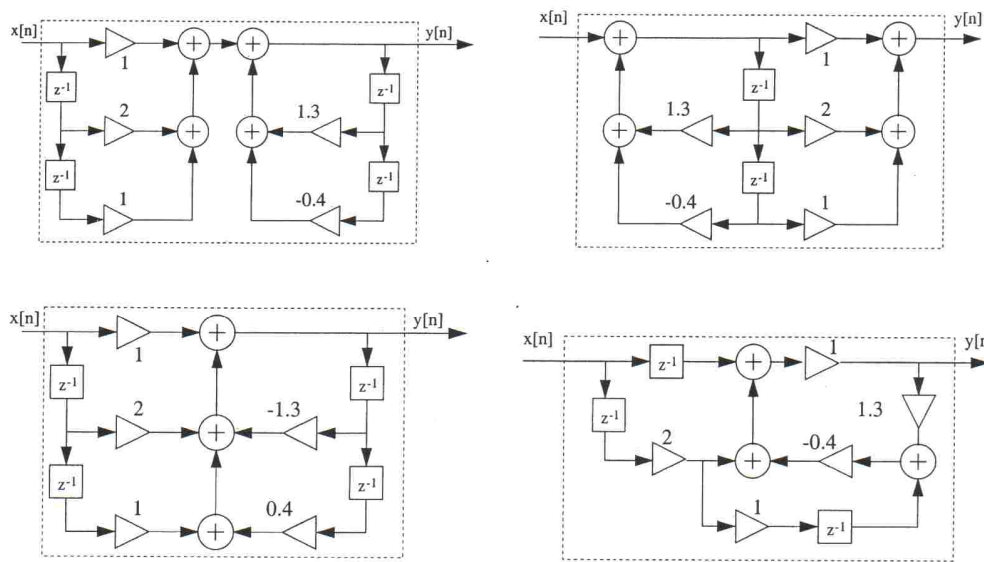
1.9 Komennolla `[B, A] = cheby2(5, 30, 0.25)`; saadaan Chebychev II -tyyppinen digitaalinen suodin, jonka asteluku on  $N = 5$ , estokaistan minimivaimennus 30 desibeliä ja estokaistan rajataajuus  $\omega_{\text{stop}} = 0.25\pi$ . Suotimen magnitudivasteen kuvaaja on

- (A) kuvassa 3(a)
- (B) kuvassa 3(b)
- (C) kuvassa 3(c)
- (D) kuvassa 3(d)

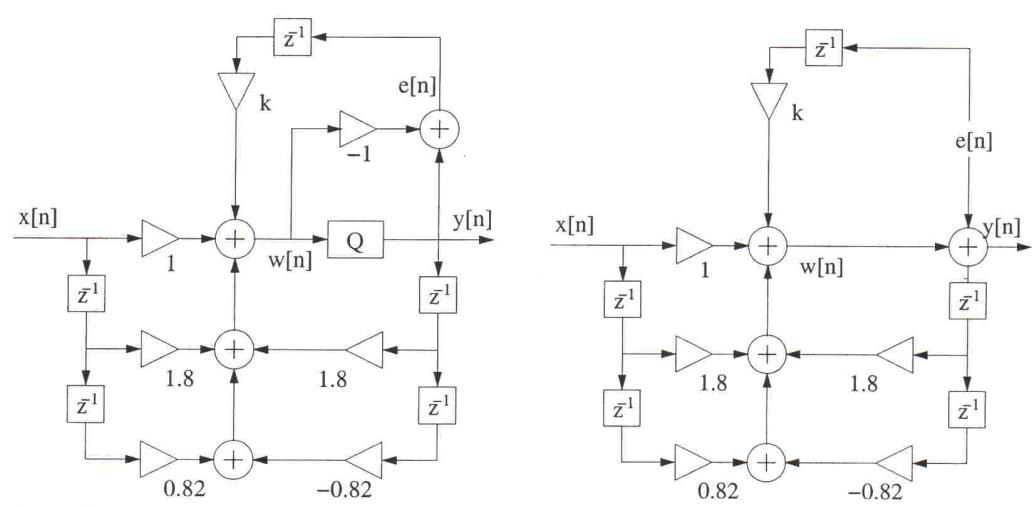
1.10 Mitä alla olevalla toimivalla Matlab-koodinpätkällä voidaan tehdä?

```
[x, fT] = wavread('mysignal.wav');
wL = 256;
M = length(x);
V = zeros(ceil(M/wL), 1);
m = 0;
for k = [1 : wL : M-wL]
    m = m + 1;
    V(m) = sum(x(k : k+wL-1).^2);
end;
```

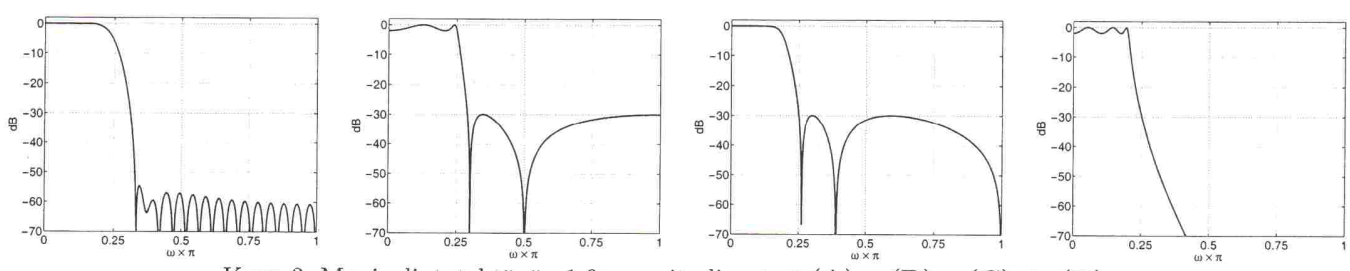
- (A) Alipäästösuodatetaan signaalia rajataajuudella  $wL$  Hz
- (B) Kynnystämällä vektorin  $V$  arvoja saadaan selville, missä kohtaa signaalia on hiljaisia hetkiä
- (C) Lasketaan signaalin spektrin tehollisia arvoja
- (D) Vektorin  $V$  arvoista voidaan piirtää spektrogrammi



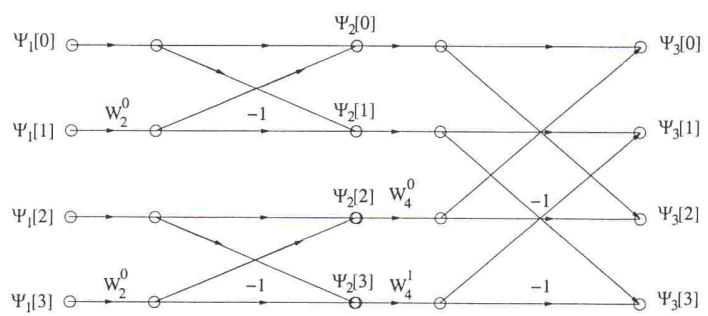
Kuva 1: Monivalintatehtävän 1.1 rakenteet, ylärivissä (A) ja (B) , alarivissä (C) ja (D) .



Kuva 2: Monivalintatehtävien 1.7 ja 1.8 2. asteen IIR-suodin 1. asteen kvantisointivirheen takaisinkytkennällä. Oikealla kvantisointilohko  $Q$  korvattu virhelähteellä  $e[n]$ .



Kuva 3: Monivalintatehtävän 1.9 magnitudivasteet (A) , (B) , (C) ja (D) .



Kuva 4: Tehtävä 2A. Virtauskaavio "radix-2 DIT FFT".

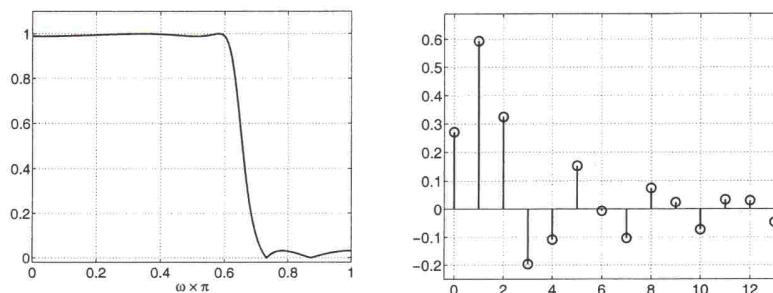
4/6

2) (6p, **VÄLIKOE JA TENTTI**) Valitse joko 2A tai 2B.

2A) FFT-algoritmit. Yleisen selostuksen lisäksi voit käyttää esimerkkinä kirjassa/kalvoissa ja laskuharjoitusmateriaalissa esiteltyä "radix-2 DIT FFT" -algoritmia, josta annettuna kuvassa 4 laskennan eteneminen neljän pisteen rakenteessa, jolloin  $r = 1, 2$  ja  $l_r = 0, \dots, 2^{r-1} - 1$ . Katso taulukosta perhosyhtälöt ja  $W_N$ . Laske välivaiheittain muunnos jonolle  $x[n] = 2\delta[n] + 4\delta[n-1] - \delta[n-2] + 5\delta[n-3]$ .

2B) Tutkitaan stabiilista ja kausaalista alipäästösuo-dinta  $H(z)$ , jonka päästökaista loppuu 3 kHz:ssa ja jonka näytteen-ottotaajuus on 10 kHz. Amplitudivaste on kuvassa 5(a) ja impulssivasteen  $h[n]$  alkua kuvassa 5(b).

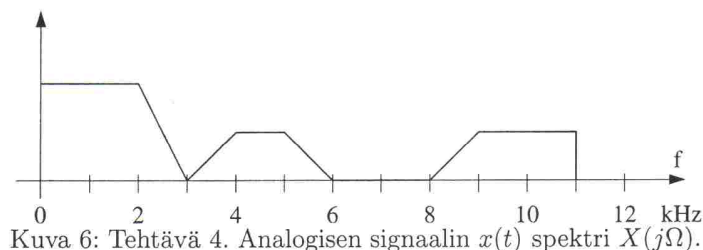
- Ylösnäytteistä ("upsample") suodinta termillä  $L = 3$ . Hahmottele sekä uusi amplitudivaste  $H'(z) = H(z^3)$  että impulssivaste  $h'[n] = h[n/3]$  ensimmäisten kymmenen arvon ajalta.
- Lopullinen tarkoitus on saada suotimesta alipäästösuo-din samoilla rajataajuuksilla 30 kHz:n näytteettotaa-juudella. Millä toimenpiteellä tähän päästään? Hahmottele amplitudivaste  $|H''(e^{j\omega})|$  ja impulssivaste  $h''[n]$  ensimmäisten kymmenen arvon ajalta tämän toimenpiteen jälkeen.



Kuva 5: Tehtävä 2B. Vasemmalla suotimen amplitudivaste ja oikealla sitä vastaava impulssivaste.

3) (6p, **VAIN TENTTI**) Tutkitaan kahden LTI-järjestelmän sarjaankytkentää  $h[n] = h_1[n] \otimes h_2[n]$ , jossa  $h_1[n] = \delta[n] - 0.9\delta[n-1]$  ja  $h_2[n] = \delta[n] + 0.81\delta[n-2]$ .

- Mikä on koko järjestelmän impulssivaste  $h[n]$ ?
  - Kirjoita koko suotimen siirtofunktio  $H(z) = H_1(z) \cdot H_2(z)$ .
  - Hahmottele suotimen napanollakuvio. (Vinkki: voit yhdistää napanollakuviot  $H_1(z)$ :sta ja  $H_2(z)$ :sta, koska ne ovat  $H(z)$ :n tulon termit.)
  - Hahmottele suotimen amplitudivaste. Perustele, miksi suotimen maksimivahvistus on kohdassa  $\omega = \pi$ .
- 4) (6p, **VAIN TENTTI**) Tutkitaan analogisen signaalin  $x(t)$  spektriä  $X(j\Omega)$  kuvassa 6.
- Mikä on Shannonin näytteenottoteoreeman tärkein sisältö?
  - Jos kuvan signaalia näytteistetään taajuudella  $f_T = 10$  kHz, niin hahmottele näytteistetyn sekvenssin spektri  $X(e^{j\omega})$ .



Kuva 6: Tehtävä 4. Analogisen signaalin  $x(t)$  spektri  $X(j\Omega)$ .

5) (6p, **VAIN TENTTI**) Stabiilin ja kausaalisen LTI-suotimen differenssiyhtälö on muotoa

$$y[n] = x[n] - 4ax[n-1] + 9a^2x[n-2] + 1.2y[n-1] - 0.72y[n-2]$$

jossa kerroin  $a$  on reaalinen luku, jonka arvo määrätään myöhemmin.

- Piirrä suotimen lohkokaa-vio viiveiden suhteen kanonisena (yksinkertaisena) suora muoto II -rakenteena ("direct form II").
  - Määrä suotimen siirtofunktio  $H(z)$ .
  - Tutki suotimen taajuusominaisuuksia  $a$ :n funktiona napanollatarkastelulla, kun  $a \geq 0$ .
- 6) (6p, **VAIN TENTTI**) Digitaalisen IIR-suotimen suunnittelu ("filter design").
- 7) (1p, **VÄLIKOE JA TENTTI**) Vastaa kurssipalautteeseen ke 8.5. - ma 19.5.2008, jonne on linkki kurssin WWW-pääsivulta ja jonka URL on <http://www.cis.hut.fi/Opinnot/T-61.3010/>. Tämä kysely kuuluu osana väliko-esuoritukseen ja sen arvo on +1 pistettä. Myös tenttiin osallistujat saavat +1 pistettä kyselyyn osallistumisesta.

5/6

T-61.3010 DSP Table of formulas, spring 2008

**Disclaimer!** Notations, e.g.  $\omega$  or  $\Omega$ , may vary from book to book, or from exam paper to other.

**Basic math stuff**

*Even and odd functions:*

$Even\{x(t)\} = 0.5 \cdot [x(t) + x(-t)]$

$Odd\{x(t)\} = 0.5 \cdot [x(t) - x(-t)]$

*Roots of second-order polynomial:*

$ax^2 + bx + c = 0, x = (-b \pm \sqrt{b^2 - 4ac}) / (2a)$

*Logarithms, decibels:*

$\log((A \cdot B/C)^D) = D \cdot (\log A + \log B - \log C)$

$\log_a b = \log_c b / \log_c a$

*decibels:*  $10 \log_{10}(B/B_0), 20 \log_{10}(A/A_0)$

$10 \log_{10}(0.5) \approx -3.01 \text{ dB}, 20 \log_{10}(0.5) \approx -6.02 \text{ dB}$

$20 \log_{10}(0.1) = -20 \text{ dB}, 20 \log_{10}(0.01) = -40 \text{ dB}$

*Complex numbers, radii, angles, unit circle:*

$i \equiv j = \sqrt{-1} = -1/j$

$z = x + jy = r e^{j\theta}$

$r = \sqrt{x^2 + y^2}$

$\theta = \arctan(y/x) + n\pi, (n = 0, \text{ if } x > 0, n = 1, \text{ if } x < 0)$

$x = r \cos(\theta), y = r \sin(\theta)$

$e^{j\theta} = \cos(\theta) + j \sin(\theta)$  (Euler's formula)

$\cos(\theta) = (1/2) \cdot (e^{j\theta} + e^{-j\theta}), \sin(\theta) = (1/2j) \cdot (e^{j\theta} - e^{-j\theta})$

$z_1 \cdot z_2 = r_1 r_2 e^{j(\theta_1 + \theta_2)}, z_1 / z_2 = (r_1 / r_2) e^{j(\theta_1 - \theta_2)}$

$|A \cdot B| = |A| \cdot |B|, \angle(A \cdot B) = \angle A + \angle B$

$z^n = r^n e^{jn\theta} = r^n (\cos \theta + j \sin \theta)^n = r^n (\cos n\theta + j \sin n\theta)$

$\sqrt[n]{z} = \sqrt[n]{r} e^{j\theta/n} = |\sqrt[n]{r}| e^{j(\theta + 2\pi k)/N}, k = 0, 1, 2, \dots, N - 1$

*Trigonometric functions:*

$1^\circ = \pi/180 \text{ radians} \approx 0.01745 \text{ rad}, 1 \text{ rad} = 180^\circ/\pi \approx 57.30^\circ$

$\text{sinc}(\theta) = \sin(\pi\theta)/(\pi\theta)$

$\sin(\theta)/\theta \rightarrow 1, \text{ when } \theta \rightarrow 0; \text{sinc}(\theta) \rightarrow 1, \text{ when } \theta \rightarrow 0$

$\cos^2(\theta) + \sin^2(\theta) = 1$

$\sin(\theta) = \theta - \frac{\theta^3}{3!} + \frac{\theta^5}{5!} - \dots + (-1)^n \frac{\theta^{2n+1}}{(2n+1)!} + \dots$  (Taylor)

$\cos(\theta) = 1 - \frac{\theta^2}{2!} + \frac{\theta^4}{4!} - \dots + (-1)^n \frac{\theta^{2n}}{(2n)!} + \dots$  (Taylor)

|                |   |              |              |              |
|----------------|---|--------------|--------------|--------------|
| $\theta$       | 0 | $\pi/6$      | $\pi/4$      | $\pi/3$      |
| $\sin(\theta)$ | 0 | 0.5          | $\sqrt{2}/2$ | $\sqrt{3}/2$ |
| $\cos(\theta)$ | 1 | $\sqrt{3}/2$ | $\sqrt{2}/2$ | 0.5          |

|                |         |               |       |          |
|----------------|---------|---------------|-------|----------|
| $\theta$       | $\pi/2$ | $3\pi/4$      | $\pi$ | $-\pi/2$ |
| $\sin(\theta)$ | 1       | $\sqrt{2}/2$  | 0     | -1       |
| $\cos(\theta)$ | 0       | $-\sqrt{2}/2$ | -1    | 0        |

$\pi \approx 3.1416, \sqrt{3}/2 \approx 0.8660, \sqrt{2}/2 \approx 0.7071$

*Geometric series:*

$\sum_{n=0}^{+\infty} a^n = \frac{1}{1-a}, |a| < 1$

$\sum_{n=0}^N a^n = \frac{1-a^{N+1}}{1-a}, |a| < 1$

**Continuous-time unit step and unit impulse fun.:**

$\mu(t) = \begin{cases} 1, & t > 0 \\ 0, & t < 0 \end{cases}$

$\delta_\Delta(t) = \frac{d}{dt} \mu_\Delta(t), \delta(t) = \lim_{\Delta \rightarrow 0} \delta_\Delta(t)$  (Dirac's delta)

$\int_{-\infty}^{+\infty} \delta(t) dt = 1$

$\int_{-\infty}^{+\infty} \delta(t - t_0) x(t) dt = x(t_0)$

In DSP notation  $2\pi\delta(t)$  is computed  $2\pi \int \delta(t) \cdot 1 dt = 2\pi$ , when  $t = 0$ , and = 0 elsewhere.

**Discrete-time unit impulse and unit step functions:**

$\delta[n] = \begin{cases} 1, & n = 0 \\ 0, & n \neq 0 \end{cases} \quad \mu[n] = \begin{cases} 1, & n \geq 0 \\ 0, & n < 0 \end{cases}$

**Periodic signals**

$\exists T \in \mathbb{R} : x(t) = x(t + T), \forall t \in \mathbb{R}$

$\exists N \in \mathbb{Z} : x[n] = x[n + N], \forall n \in \mathbb{Z}$

Fundamental period  $T_0, N_0$  is the smallest  $T > 0, N > 0$ .

**Convolution**

Convolution is commutative, associative and distributive.

$y(t) = h(t) \otimes x(t) = \int_{-\infty}^{+\infty} h(\tau) x(t - \tau) d\tau$

$y[n] = h[n] \otimes x[n] = \sum_{k=-\infty}^{+\infty} h[k] x[n - k]$

$y_C[n] = h[n] \otimes_C x[n] = \sum_{k=0}^{N-1} h[k] x[\langle n - k \rangle_N]$

**Correlation:**

$r_{xy}[l] = \sum_{n=-\infty}^{+\infty} x[n] y[n - l] = x[l] \otimes y[-l]$

$r_{xx}[l] = \sum_{n=-\infty}^{+\infty} x[n] x[n - l]$

**Mean and variance of random signal:**

$m_X = E[X] = \int x p_X(x) dx$

$\sigma_X^2 = \int (x - m_X)^2 p_X(x) dx = E[X^2] - m_X^2$

**Frequencies, angular frequencies, periods:**

Here  $f_s$  (also  $f_T$  later) is the sampling frequency.

*Frequency*  $f, [f] = \text{Hz} = 1/\text{s}$ .

*Angular frequency*  $\Omega = 2\pi f = 2\pi/T, [\Omega] = \text{rad/s}$  (analog).

*Normalized angular frequency*  $\omega = 2\pi\Omega/\Omega_s = 2\pi f/f_s, [\omega] = \text{rad/sample}$  (digital).

*Normalized frequency in Matlab*  $f_{MATLAB} = 2f/f_s, [f_{MATLAB}] = 1/\text{sample}$ .

**Sampling of  $x_a(t)$  by sampling frequency  $f_T$**

$x_p[n] = x_a(nT) = x_a(n/f_T)$

$X_p(j\Omega) = \frac{1}{T} \sum_{k=-\infty}^{+\infty} X_a(j(\Omega - k\Omega_T))$

**Integral transforms. Properties**

Here all integral transforms share some basic properties. Examples given with CTFT,  $x[n] \leftrightarrow X(e^{j\omega}), x_1[n] \leftrightarrow X_1(e^{j\omega})$ , and  $x_2[n] \leftrightarrow X_2(e^{j\omega})$  are time-domain signals with corresponding transform-domain spectra.  $a$  and  $b$  are constants.

*Linearity.* All transforms are linear.

$a x_1[n] + b x_2[n] \leftrightarrow a X_1(e^{j\omega}) + b X_2(e^{j\omega})$

*Time-shifting.* There is a kernel term in transform, e.g.,

$x[n - k] \leftrightarrow e^{-jk\omega} X(e^{j\omega})$

*Frequency-shifting.* There is a kernel term in signal e.g.,

$e^{j\omega_k n} x[n] \leftrightarrow X(e^{j(\omega - \omega_k)})$

*Conjugate symmetry*  $x^*[n] \leftrightarrow X^*(e^{-j\omega})$ . If  $x[n] \in \mathbb{R}$ , then  $X(e^{j\omega}) = X^*(e^{-j\omega}), |X(e^{j\omega})| = |X(e^{-j\omega})|, \angle X(e^{j\omega}) = -\angle X(e^{-j\omega})$ . If  $x[n] \in \mathbb{R}$  and even, then  $X(e^{j\omega}) \in \mathbb{R}$  and even. If  $x[n] \in \mathbb{R}$  and odd, then  $X(e^{j\omega})$  purely  $\in \mathbb{C}$  and odd.

*Time reversal.* Transform variable is reversed, e.g.,

$x[-n] \leftrightarrow X(e^{-j\omega})$

*Differentiation.* In time and frequency domain, e.g.,

$x[n] - x[n - 1] \leftrightarrow (1 - e^{-j\omega}) X(e^{j\omega}), nx[n] \leftrightarrow j \frac{d}{d\omega} X(e^{j\omega})$

*Duality.* Convolution property: convolution in time domain

corresponds multiplication in transform domain  $x_1[n] \otimes x_2[n] \leftrightarrow X_1(e^{j\omega}) \cdot X_2(e^{j\omega})$  and multiplication property, vice versa,  $x_1[n] \cdot x_2[n] \leftrightarrow \frac{1}{2\pi} \int_{2\pi} X_1(e^{j\theta}) X_2(e^{j(\omega - \theta)}) d\theta$

*Parseval's relation.* Energy in signal and spectral components:

$\sum |x[n]|^2 = \frac{1}{2\pi} \int_{2\pi} |X(e^{j\omega})|^2 d\omega$

**Fourier series of continuous-time periodic signals:**

$x(t) = \sum_{k=-\infty}^{+\infty} a_k e^{jk\Omega_0 t}$  (synthesis)

$a_k = \frac{1}{T} \int_T x(t) e^{-jk\Omega_0 t} dt$  (analysis)

$x(t - t_0) \leftrightarrow a_k e^{jk\Omega_0 t_0}$

$e^{jM\Omega_0 t} x(t) \leftrightarrow a_{k-M}$

$\int_T x_a(\tau) x_b(t - \tau) d\tau \leftrightarrow T a_k b_k$

$x_a(t) x_b(t) \leftrightarrow \sum_l a_l b_{k-l}$

$\frac{d}{dt} x(t) \leftrightarrow jk\Omega_0 a_k$

**Continuous-time Fourier-transform (CTFT):**

$x(t) = \frac{1}{2\pi} \int_{-\infty}^{+\infty} X(j\Omega) e^{j\Omega t} d\Omega$  (synthesis)

$X(j\Omega) = \int_{-\infty}^{+\infty} x(t) e^{-j\Omega t} dt$  (analysis)

$x(t - t_k) \leftrightarrow e^{j\Omega t_k} X(j\Omega)$

$e^{j\Omega_k t} x(t) \leftrightarrow X(j(\Omega - \Omega_k))$

$x_a(t) \otimes x_b(t) \leftrightarrow X_a(j\Omega) X_b(j\Omega)$

$x_a(t) x_b(t) \leftrightarrow \frac{1}{2\pi} X_a(j\Omega) \otimes X_b(j\Omega)$

6/6

$$\begin{aligned} \frac{d}{dt}x(t) &\leftrightarrow j\Omega X(j\Omega) \\ tx(t) &\leftrightarrow j\frac{d}{d\Omega}X(j\Omega) \\ e^{j\Omega_0 t} &\leftrightarrow 2\pi\delta(\Omega - \Omega_0) \\ \cos(\Omega_0 t) &\leftrightarrow \pi[\delta(\Omega - \Omega_0) + \delta(\Omega + \Omega_0)] \\ \sin(\Omega_0 t) &\leftrightarrow j\pi[\delta(\Omega + \Omega_0) - \delta(\Omega - \Omega_0)] \\ x(t) = 1 &\leftrightarrow 2\pi\delta(\Omega) \end{aligned}$$

$$x(t) = \begin{cases} 1, & |t| < T_1 \\ 0, & |t| > T_1 \end{cases} \leftrightarrow \frac{2\sin(\Omega T_1)}{\Omega}$$

$$\frac{\sin(Wt)}{\pi t} \leftrightarrow X(j\Omega) = \begin{cases} 1, & |\Omega| < W \\ 0, & |\Omega| > W \end{cases}$$

$$\begin{aligned} \delta(t) &\leftrightarrow 1 \\ \delta(t - t_k) &\leftrightarrow e^{j\Omega t_k} \\ e^{-at}\mu(t) &\leftrightarrow \frac{1}{a+j\Omega}, \text{ where } \text{Real}\{a\} > 0 \end{aligned}$$

**Discrete-time Fourier-transform (DTFT):**

$$\begin{aligned} x[n] &= \frac{1}{2\pi} \int_{-\pi}^{\pi} X(e^{j\omega}) e^{j\omega n} d\omega \text{ (synthesis)} \\ X(e^{j\omega}) &= \sum_{n=-\infty}^{\infty} x[n] e^{-j\omega n}, \text{ periodic with } 2\pi \text{ (analysis)} \\ x[n - k] &\leftrightarrow e^{-jk\omega} X(e^{j\omega}) \\ e^{j\omega_k n} x[n] &\leftrightarrow X(e^{j(\omega - \omega_k)}) \\ x_1[n] \otimes x_2[n] &\leftrightarrow X_1(e^{j\omega}) \cdot X_2(e^{j\omega}) \\ x_1[n] \cdot x_2[n] &\leftrightarrow \frac{1}{2\pi} \int_{-\pi}^{\pi} X_1(e^{j\theta}) X_2(e^{j(\omega - \theta)}) d\theta \\ nx[n] &\leftrightarrow j\frac{d}{d\omega} X(e^{j\omega}) \\ e^{j\omega_0 n} &\leftrightarrow 2\pi \sum_l \delta(\omega - \omega_0 - 2\pi l) \\ \cos(\omega_0 n) &\leftrightarrow \pi \sum_l [\delta(\omega - \omega_0 - 2\pi l) + \delta(\omega + \omega_0 - 2\pi l)] \\ \sin(\omega_0 n) &\leftrightarrow j\pi \sum_l [\delta(\omega + \omega_0 - 2\pi l) - \delta(\omega - \omega_0 - 2\pi l)] \\ x[n] = 1 &\leftrightarrow 2\pi \sum_l \delta(\omega - 2\pi l) \end{aligned}$$

$$x[n] = \begin{cases} 1, & |n| \leq N_1 \\ 0, & |n| > N_1 \end{cases} \leftrightarrow \frac{\sin(\omega(N_1+0.5))}{\sin(\omega/2)}$$

$$\frac{\sin(Wn)}{\pi n} = \frac{W}{\pi} \text{sinc}\left(\frac{Wn}{\pi}\right) \leftrightarrow X(e^{j\omega}) = \begin{cases} 1, & 0 \leq |\omega| \leq W \\ 0, & W < |\omega| \leq \pi \end{cases}$$

$$\begin{aligned} \delta[n] &\leftrightarrow 1 \\ \delta[n - k] &\leftrightarrow e^{-jk\omega} \\ a^n \mu[n] &\leftrightarrow \frac{1}{1 - ae^{-j\omega}}, \quad |a| < 1 \end{aligned}$$

**N-point Discrete Fourier-transform (DFT):**

$$\begin{aligned} \text{Connection to DTFT: } X[k] &= X(e^{j\omega})|_{\omega=2\pi k/N} \\ W_N &= e^{-j2\pi/N} \\ x[n] &= \frac{1}{N} \sum_{k=0}^{N-1} X[k] W_N^{-kn}, \quad 0 \leq n \leq N-1 \text{ (synthesis)} \\ X[k] &= \sum_{n=0}^{N-1} x[n] W_N^{kn}, \quad 0 \leq k \leq N-1 \text{ (analysis)} \\ x[<n - n_0 >_N] &\leftrightarrow W_N^{-kn_0} X[k] \\ W_N^{-nk_0} x[n] &\leftrightarrow X[<k - k_0 >_N] \\ y_C[n] = h[n] \otimes x[n] &\leftrightarrow H[k] \cdot X[k] = Y[k] \end{aligned}$$

**Laplace transform:**

$$\begin{aligned} \text{Convergence with a certain ROC (region of convergence).} \\ \text{Connection to continuous-time Fourier-transform: } s &= j\Omega \\ x(t) &= \frac{1}{2\pi j} \int_{\sigma-j\infty}^{\sigma+j\infty} X(s) e^{st} ds \text{ (synthesis)} \\ X(s) &= \int_{-\infty}^{\infty} x(t) e^{-st} dt \text{ (analysis)} \end{aligned}$$

**z-transform:**

$$\begin{aligned} \text{Convergence with a certain ROC (region of convergence).} \\ \text{Connection to discrete-time Fourier-transform: } z &= e^{j\omega} \\ x[n] &= \frac{1}{2\pi j} \oint_C X(z) z^{n-1} dz, \quad C \text{ in ROC of } X(z) \text{ (synthesis)} \\ X(z) &= \sum_{n=-\infty}^{\infty} x[n] z^{-n} \text{ (analysis)} \\ x[n - k] &\leftrightarrow z^{-k} X(z) \\ x_1[n] \otimes x_2[n] &\leftrightarrow X_1(z) \cdot X_2(z) \\ \delta[n] &\leftrightarrow 1, \text{ ROC all } z \\ \delta[n - k] &\leftrightarrow z^{-k}, \text{ all } z, \text{ except } 0 (k > 0) \text{ or } \infty (k < 0) \\ \mu[n] &\leftrightarrow \frac{1}{1-z^{-1}}, \quad |z| > 1 \\ -\mu[-n-1] &\leftrightarrow \frac{1}{1-z^{-1}}, \quad |z| < 1 \\ a^n \mu[n] &\leftrightarrow \frac{1}{1-az^{-1}}, \quad |z| > |a| \\ na^n \mu[n] &\leftrightarrow \frac{az^{-1}}{(1-az^{-1})^2}, \quad |z| > |a| \end{aligned}$$

$$\begin{aligned} (n+1)a^n \mu[n] &\leftrightarrow \frac{1}{(1-az^{-1})^2}, \quad |z| > |a| \\ r^n \cos(\omega_0 n) \mu[n] &\leftrightarrow \frac{1-r \cos(\omega_0) z^{-1}}{1-2r \cos(\omega_0) z^{-1} + r^2 z^{-2}}, \quad |z| > |r| \\ r^n \sin(\omega_0 n) \mu[n] &\leftrightarrow \frac{r \sin(\omega_0) z^{-1}}{1-2r \cos(\omega_0) z^{-1} + r^2 z^{-2}}, \quad |z| > |r| \end{aligned}$$

**LTI filter analysis**

*Stability*  $\sum_n |h[n]| < \infty$ ; unit circle belongs to ROC  
*Causality*  $h[n] = 0, n < 0$ ;  $\infty$  belongs to ROC  
*Unit step response*  $s[n] = \sum_{k=-\infty}^n h[k]$   
*Causal transfer function of order*  $\max\{M, N\}$ :  
 $H(z) = B(z)/A(z) = K \cdot \frac{\sum_{m=0}^M b_m z^{-m}}{\sum_{n=0}^N a_n z^{-n}} = G \cdot \frac{\prod_{m=1}^M (1-d_m z^{-1})}{\prod_{n=1}^N (1-p_n z^{-1})}$   
*Zeros*  $d_m$ :  $B(z) = 0$ ; *Poles*  $p_n$ :  $A(z) = 0$   
*Frequency, magnitude/amplitude, phase response*,  $z \leftarrow e^{j\omega}$   
 $H(e^{j\omega}) = |H(e^{j\omega})| e^{j\angle H(e^{j\omega})}$   
 $H(e^{j\omega}) = H(z)|_{z=e^{j\omega}}$   
 $H[k] = H(e^{j\omega})|_{\omega=2\pi k/N}$   
*Group delay*  $\tau(\omega) = -\frac{d}{d\omega} \angle H(e^{j\omega})$   
*Four types of linear-phase FIR filters*,  $h[n] = h[N-1-n]$  (even/odd symmetric), or  $h[n] = -h[N-1-n]$  (e/o antis.).  
*Zeros symmetric w.r.t. unit circle*:  $r e^{\pm j\theta}$  and  $(1/r) e^{\pm j\theta}$ .  
*Important transform pairs and properties*:  
 $a \delta[n - k] \leftrightarrow a e^{-jk\omega} \leftrightarrow a z^{-k}$   
 $a^n \mu[n] \leftrightarrow 1/[1 - a e^{-j\omega}] \leftrightarrow 1/[1 - a z^{-1}]$   
 $h[n] = \sum_i (k_i \cdot a_i^n \mu[n]) \leftrightarrow H(e^{j\omega}) = \dots$   
 $\dots \sum_i (k_i/[1 - a_i e^{-j\omega}]) \leftrightarrow H(z) = \sum_i (k_i/[1 - a_i z^{-1}])$   
 $a x[n - k] \leftrightarrow a e^{-jk\omega} X(e^{j\omega}) \leftrightarrow a z^{-k} X(z)$   
 $y[n] = h[n] \otimes x[n] \leftrightarrow Y(z) = H(z) \cdot X(z)$   
 rectangular  $\leftrightarrow$  sinc, sinc  $\leftrightarrow$  rectangular

**LTI filter design (synthesis)**

*Bilinear transform*  $H(z) = H(s)|_s$  and *prewarping*  
 $s = k \cdot (1 - z^{-1})/(1 + z^{-1})$ ,  $k = 1$  or  $k = 2/T = 2f_T$   
 $\Omega_{\text{prewarp},c} = k \cdot \tan(\omega_c/2)$ ,  $k = 1$  or  $k = 2/T = 2f_T$   
*Spectral transformations*,  $\hat{\omega}_c$  desired cut-off  
 LP-LP  $z^{-1} = (\hat{z}^{-1} - \alpha)/(1 - \alpha \hat{z}^{-1})$ , where  
 $\alpha = \sin(0.5(\omega_c - \hat{\omega}_c))/\sin(0.5(\omega_c + \hat{\omega}_c))$   
 LP-HP  $z^{-1} = -(\hat{z}^{-1} + \alpha)/(1 + \alpha \hat{z}^{-1})$ , where  
 $\alpha = -\cos(0.5(\omega_c + \hat{\omega}_c))/\cos(0.5(\omega_c - \hat{\omega}_c))$   
*Windowed Fourier series method*  
 $H(e^{j\omega}) = \begin{cases} 1, & |\omega| < \omega_c \\ 0, & |\omega| \geq \omega_c \end{cases} \leftrightarrow h[n] = \frac{\sin(\omega_c n)}{\pi n} = \frac{\omega_c}{\pi} \text{sinc}\left(\frac{\omega_c n}{\pi}\right)$   
 $h_{\text{FIR}}[n] = h_{\text{ideal}}[n] \cdot w[n]$   
 $H_{\text{FIR}}(e^{j\omega}) = \frac{1}{2\pi} \int_{-\pi}^{\pi} H_{\text{ideal}}(e^{j\theta}) W(e^{j(\omega-\theta)}) d\theta$   
*Fixed window functions*, order  $N = 2M$ ,  $-M \leq n \leq M$ :  
 Rectangular  $w[n] = 1$   
 Hamming  $w[n] = 0.54 + 0.46 \cos((2\pi n)/(2M))$   
 Hann  $w[n] = 0.5 \cdot (1 + \cos((2\pi n)/(2M)))$   
 Blackman  $w[n] = 0.42 + 0.5 \cos(\frac{2\pi n}{2M}) + 0.08 \cos(\frac{4\pi n}{2M})$   
 Bartlett  $w[n] = 1 - (|n|/M)$

**Implementation**

*Radix-2 DIT FFT butterfly equations*  

$$\begin{cases} \Psi_{r+1}[\alpha] = \Psi_r[\alpha] + W_N^L \Psi_r[\beta] \\ \Psi_{r+1}[\beta] = \Psi_r[\alpha] - W_N^L \Psi_r[\beta] \end{cases}$$

**Multirate systems**

*Upsampling (interpolation) with factor L*,  $\boxed{\uparrow L}$   

$$x_u[n] = \begin{cases} x[n/L], & n = 0, \pm L, \pm 2L, \dots \\ x_u[n] = 0, & \text{otherwise} \end{cases}$$
 $X_u(z) = X(z^L), X_u(e^{j\omega}) = X(e^{j\omega L})$   
*Downsampling (decimation) with factor M*,  $\boxed{\downarrow M}$   
 $x_d[n] = x[nM]$   
 $X_d(z) = (1/M) \sum_{k=0}^{M-1} X(z^{1/M} W_M^{-k})$   
 $X_d(e^{j\omega}) = (1/M) \sum_{k=0}^{M-1} X(e^{j(\omega - 2\pi k)/M})$